



## کاربرد نمایه‌های ژئومرلومتری در مدل‌سازی مکانی رخداد چشممه‌های آب زیرزمینی در منطقه البرز میانی، با رویکرد احتمالی وزنی شاهد

حسین امامی<sup>۱</sup>، میثم جعفری<sup>۲</sup>، علی‌اکبر نظری سامانی<sup>۳\*</sup>، آرش ملکیان<sup>۴</sup>

۱. دانشجوی کارشناسی ارشد آبخیزداری، گروه احیاء مناطق خشک و کوهستانی، دانشکده

منابع طبیعی، دانشگاه تهران

۲. دانشیار گروه احیاء مناطق خشک و کوهستانی، دانشکده منابع طبیعی، دانشگاه تهران

تاریخ پذیرش مقاله: ۱۳۹۵/۱۲/۲۶

تاریخ دریافت مقاله: ۱۳۹۵/۱۲/۱

### چکیده

مدل‌سازی مکانی رخداد چشممه‌های آب زیرزمینی امکان شناسایی چشممه‌های جدید را، برای مصارف شرب و کشاورزی و صنعت، فراهم می‌آورد. هدف از این تحقیق مدل‌سازی مکانی رخداد چشممه‌های آب زیرزمینی، با استفاده از نمایه‌های ژئومرلومتری مؤثر در رخداد آنها و مدل احتمالی وزنی شاهد و بررسی کارآیی این مدل در منطقه البرز میانی است. به‌طور کلی، ۵۸۴ چشممه در منطقه مورد مطالعه مشخص شدند که ۴۰۹ (۷۰٪) چشممه‌ها برای آموزش و ۱۷۵ (۳۰٪) چشممه‌ها برای اعتبارسنجی مدل وزنی شاهد به‌کار رفتند. چهارده شاخص مهم ژئومرلومتری مؤثر در رخداد چشممه‌ها، در قالب رویکرد مدل وزنی شاهد برای مدل‌سازی مکانی رخداد چشممه‌ها، برگزیده شدند. این عوامل شامل ارتفاع، درجه شیب، جهت، انحنای صفحه‌ای، انحنای پروفیل، ساختار رطوبت توپوگرافی، ساختار قدرت جریان، طول شیب، شاخص موقعیت توپوگرافی، سنگ‌شناسی، فاصله از گسل‌ها، تراکم گسل‌ها، فاصله از آبراهه‌ها و تراکم زهکشی می‌شوند. در این تحقیق، براساس مدل وزنی شاهد، عامل‌های جهت شیب و شاخص رطوبت توپوگرافی، به‌ترتیب، دارای کمترین و بیشترین تأثیر در رخداد چشممه‌های آب زیرزمینی‌اند. نقشه به‌دست آمده از مدل‌سازی مکانی رخداد چشممه‌ها، در چهار طبقه، با پتانسیل رخداد کم، متوسط، زیاد و بسیار زیاد قرار گرفت. صحت پیش‌بینی مدل مورد استفاده با استفاده از روش ROC بررسی شد. سطح زیرین منحنی ۰/۸۶۶ به‌دست آمد که نشان می‌دهد مدل وزنی شاهد، در برآورد رخداد مکانی چشممه‌های آب زیرزمینی در منطقه مورد مطالعه، دقت بسیار خوبی دارد.

**کلیدواژه‌ها:** مدل‌سازی مکانی، چشممه‌های آب زیرزمینی، وزنی شاهد، ROC، ژئومرلومتری، البرز میانی.

\* نویسنده عهده‌دار مکاتبات: دانشگاه تهران، دانشکده منابع طبیعی، گروه احیاء مناطق خشک و کوهستانی.

Email: aknazari@ut.ac.ir

آرتور و همکاران<sup>۳</sup> (۲۰۰۷) در پژوهشی، با استفاده از روش وزنی شاهد، آسیب‌پذیری آبخوان فلوریدا در برابر آلودگی را ارزیابی کردند. آنها نتیجه گرفتند که خروجی مدل وزنی شاهد می‌تواند نقشه‌های آسیب‌پذیری در مقابل آلاینده‌ها را ایجاد کند و ابزار قدرتمندی برای حفاظت از آبخوان باشد. ازdemir<sup>۴</sup> (۲۰۱۱)، در کوه‌های سلطان ترکیه، نقشهٔ پتانسیل چشم‌های آب زیرزمینی را با استفاده از GIS و مدل‌های رگرسیون لجستیک، نسبت فراوانی و وزنی شاهد تهیه کرد. همچنین، همهٔ عوامل مرتبط که توپوگرافی، زمین‌شناسی، هیدرولوژی، و اقلیمی را دربر می‌گیرند، وارد مدل‌ها شدند. نتایج نشان داد که، به ترتیب، مدل‌های نسبت فراوانی، وزنی شاهد و رگرسیون لجستیک برآوردهای نسبتاً خوبی ارائه کرده‌اند. لی و همکاران<sup>۵</sup> (۲۰۱۲)، در مطالعه‌ای، از روش وزنی شاهد برای تولید نقشهٔ پتانسیل بهره‌برداری از آب زیرزمینی، در منطقهٔ اطراف پوهانگ کره، استفاده کردند. آنها به این نتیجه رسیدند که روش وزنی شاهد قادر است نقشهٔ پتانسیل بهره‌برداری از آب زیرزمینی را با دقت نسبتاً خوبی ایجاد کند. پورتفی و پورقادسی<sup>۶</sup> (۲۰۱۴)، در مطالعه‌ای، برای مدل‌سازی مکانی رخداد چشم‌های آب زیرزمینی در منطقهٔ بیرون خراسان جنوبی، مدل‌های رگرسیون لجستیک، نسبت فراوانی و وزنی شاهد را به کار برdenد و کارآبی این مدل‌ها را با یکدیگر مقایسه کردند. آنها دریافتند که برای تهیهٔ نقشهٔ پتانسیل چشم‌های آب زیرزمینی، به ترتیب، مدل‌های نسبت فراوانی، وزنی شاهد و رگرسیون لجستیک برآوردهای تقریباً خوبی ارائه می‌دهند. ال‌آبادی<sup>۷</sup> (۲۰۱۵)، در پژوهشی، برای تهیهٔ نقشهٔ پتانسیل آب زیرزمینی در منطقه‌ای واقع در شمال شرق

## ۱- مقدمه

آب منبعی حیات‌بخش و یکی از عوامل حیاتی تشکیل و بقای زیست به‌شمار می‌رود و بیش از هر زمان دیگری، مورد توجه است. منابع آب زیرزمینی در سازندگان کربناته یکی از منابع مهم آبی در مناطق کوهستانی‌اند که، از لحاظ شرب و کشاورزی و دامداری و صنعت، کیفیت مناسبی دارند. آب زیرزمینی در لایه‌های اشباع زیر زمین تجمع پیدا می‌کند و بر اثر تراوش آب باران و یا آب ناشی از ذوب یخ و برف، از خلل و فرج بین کانی‌ها و سنگ‌های زیرین به داخل زمین، ایجاد می‌شود (Banks and Robins, 2002). جریان آب زیرزمینی در لایهٔ آبخوان به سمت نقطهٔ تخلیه است که شامل چاه‌ها، چشم‌های رودخانه‌ها، دریاچه‌ها و اقیانوس می‌شود. در ایران، چشم‌های متعدد کوچک و بزرگ وجود دارد که اغلب آنها در نواحی کوهستانی و مرفوع پدید می‌آیند و آب تخلیه‌شده از آنها عمولاً دارای کیفیت خوبی است. مطالعه و شناخت این چشم‌ها نقش مهمی در حفاظت، برنامه‌ریزی برای بهره‌برداری بهینه از این منابع دارد. روش‌های تعیین پتانسیل آب زیرزمینی با استفاده از امواج صوتی، حفر چاه گمانه و روش ژئوکتریک نیاز به مهارت، تخصص و صرف هزینه و زمان دارند (Singh and Prakash, 2003). در سال‌های اخیر، با استفاده از سامانهٔ اطلاعات جغرافیایی (GIS)<sup>۸</sup> و سنجش از دور (RS)<sup>۹</sup>، مدل‌سازی مکانی رخداد آب زیرزمینی به روشنی نسبتاً آسان تبدیل شده است و استفاده از این روش‌ها می‌تواند در کاهش هزینه‌های بالای شناسایی منابع آب زیرزمینی تأثیرگذار باشد. GIS به کاربران این امکان را می‌دهد که، به سادگی، اطلاعات مکانی و داده‌های توصیفی را برای ایجاد نقشه‌ها، جدول‌ها و نمودارها در زمینه‌هایی، از جمله مدیریت منابع آب و محیط‌زیست، به کار گیرند. استفاده از GIS و ترکیب آن با مدل‌های احتمالی برای به‌دست‌آوردن نتایج دقیق‌تر نقشی اساسی در مدل‌سازی مکانی رخداد چشم‌های آب زیرزمینی دارد.

- 
1. Geographic Information System
  2. Remote Sensing
  3. Arthur et al.
  4. Ozdemir
  5. Lee et al.
  6. Pourtaghi and Pourghasemi
  7. Al-Abadi

نظر اقلیمی، با توجه به تقسیم‌بندی دومارت، نیمه‌مرطوب است. در این ناحیه، چشمه‌های بسیاری وجود دارد که این چشمه‌ها رودخانه دائمی و پرآب کرج را پیدا آورده و از دلایل انتخاب این منطقه برای پژوهش حاضر به‌شمار می‌رود.

## ۲-۲- روش پژوهش

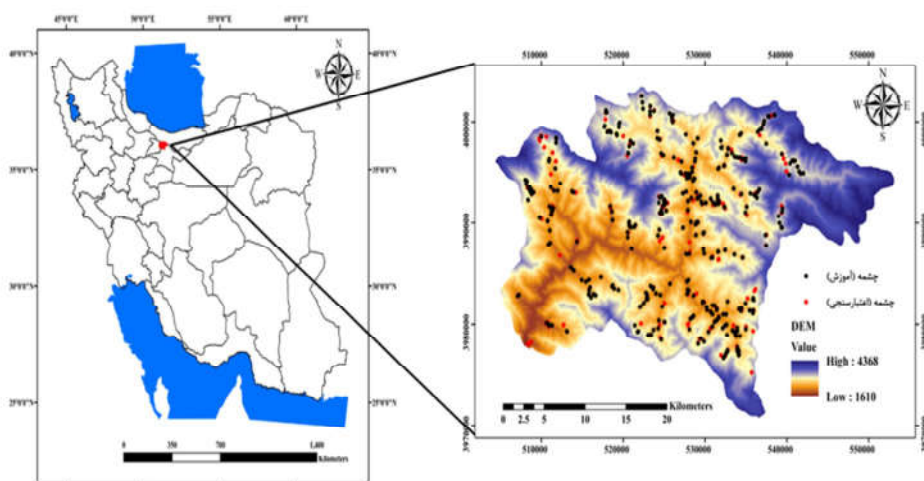
براساس داده‌های دریافت شده از سازمان مدیریت منابع آب ایران، به‌طورکلی، ۵۸۴ چشمه در این منطقه مشخص شده‌اند (شکل ۱). با استفاده از تفکیکی تصادفی، ۴۰۹ چشمه (٪۷۰) در تهیه نقشهٔ رخداد چشمه‌ای آب زیرزمینی ( نقطه‌های سیامرنگ در شکل ۱) و ۱۷۵ چشمه (٪۳۰) برای اعتبارسنجی ( نقطه‌های قرمز در شکل ۱) استفاده شد ( Ozdemir, 2011; Pourtaghi and Pourghasemi, 2014; Ozdemir, 2011; Lee et al., 2012; Al-Abadi, 2015 ) . چهارده (Pourtaghi and Pourghasemi, 2014) شاخص مهم ژئومرمتری مؤثر در رخداد چشمه‌ها، که

عراق، بین استان‌های واسط و میسان، از مدل وزنی شاهد استفاده کرد. نتایج نشان داد که مدل وزنی شاهد قابلیت بالایی در مدل‌سازی آب زیرزمینی در منطقه مورد مطالعه دارد. هدف از این پژوهش مدل‌سازی مکانی رخداد چشمه‌های آب زیرزمینی در منطقه البرز میانی، با استفاده از مدل احتمالی وزنی شاهد<sup>۱</sup> است. از نتایج این تحقیق می‌توان برای پیش‌بینی پتانسیل منابع آب زیرزمینی و نیز بهبود مدیریت آن استفاده کرد؛ ضمن اینکه مدل‌سازی مکانی رخداد چشمه‌های آب زیرزمینی برپایه مدل احتمالی و نمایه‌های ژئومرمتری به مهارت زیادی نیاز ندارد و از این‌رو، در زمان و هزینهٔ صرفه‌جویی خواهد شد.

## ۲- مواد و روش‌ها

### ۱-۱- منطقهٔ مورد مطالعه

منطقهٔ البرز میانی، دارای مساحت ۸۵۴/۴۱ کیلومترمربع، در محدودهٔ جغرافیایی<sup>۱</sup> ۵۱°۰'۵۱'' تا ۵۹°۵۱' طول شرقی و ۳۵°۸۸' تا ۳۶°۱۷' عرض شمالی و در بین استان‌های البرز، تهران و مازندران قرار دارد (شکل ۱). این منطقه، به‌دلیل قرارگرفتن در دامنه‌های جنوبی رشته‌کوه البرز، کوهستانی محسوب می‌شود. منطقهٔ مورد مطالعه ارتفاعی بین ۱۶۱۰ تا ۴۳۶۸ متر از سطح دریا دارد و از



شکل ۱. موقعیت منطقهٔ مورد مطالعه

### 1. Weights-of-Evidence (WofE)

طول یک دامنه است؛ بنابراین، این انحنا تأثیر بسیاری در سرعت جريان و حالت تقرع و تحدب دامنه‌ها دارد و با افزایش میزان آن (مقادیر مثبت) حالت دامنه مقرر می‌شود، سرعت جريان کاهش می‌یابد و سرعت نفوذ بیشتر می‌شود (شکل ۲-ث). توپوگرافی در تنوع مکانی شرایط هیدرولوژیکی، همچون رطوبت خاک و جريان آب زیرزمینی، نقش حیاتی دارد؛ از این‌رو، از شاخص توپوگرافی ثانویه برای توصیف الگوهای مکانی رطوبت خاک استفاده می‌شود (Moore et al., 1991).  
 TWI =  $\ln \left( \frac{L}{\tan \alpha} \right)$   
 رابطه (۱)

$\beta$  مساحت تجمعی بالادست زهکشی یک نقطه (مساحت بالادست در واحد طول خط تراز) و  $\alpha$  درجه شیب در همان نقطه است. شاخص قدرت جريان (SPI) را می‌توان با رابطه زیر تعیین کرد (Ibid.) (شکل ۲-ج):

$$SPI = A_s \times \tan \alpha$$
 رابطه (۲)

که در این رابطه،  $A_s$  مساحت ویژه حوضه ( $m^2$ ) و درجه شیب است. LS عامل توپوگرافی و ترکیبی از فاکتورهای L طول شیب و S تندی شیب حوضه است. این عامل در معادله جهانی فرسایش خاک (USLE)، برای اندازه‌گیری ظرفیت انتقال رسوب از طریق جريان زمینی، به کار می‌رود. با رابطه زیر، می‌توان عامل ترکیب شده LS را محاسبه کرد (Moore and Burch, 1986) (شکل ۲-ح):

$$LS = \left( \frac{B_s}{22.13} \right)^{0.6} \left( \frac{\sin \alpha}{0.0896} \right)^{1.3}$$
 رابطه (۳)

1. Topographic Wetness Index
2. Stream Power Index
3. Slope Length
4. Topographic Position Index
5. Digital Elevation Model

در این مطالعه ارزیابی شده‌اند، شامل ارتفاع، درجه شیب، جهت، انحنای پلان، انحنای پروفیل، شاخص رطوبت توپوگرافی (TWI)<sup>۱</sup>، شاخص قدرت جريان (SPI)<sup>۲</sup>، طول شیب (LS)<sup>۳</sup>، شاخص موقعیت توپوگرافی (TPI)<sup>۴</sup>، فاصله از آبراهه، فاصله از گسل، تراکم زهکشی، تراکم گسل و سنگ‌شناسی می‌شوند. هریک از این پارامترها، به‌گونه‌ای، در نفوذ آب و تغذیه منابع آب زیرزمینی و نیز رخداد چشمه‌ها دخالت دارد.

با استفاده از خطوط تراز ارتفاعی، که از نقشه توپوگرافی با مقیاس ۱:۲۵۰۰۰ استخراج شده‌اند، مدل رقومی ارتفاع (DEM)<sup>۵</sup> با اندازه پیکسل‌های  $20 \times 20$  متر تهیه شد. از DEM منطقه مورد مطالعه بهمنزله ورودی برای استخراج نقشه‌های ارتفاع، درجه شیب، جهت، انحنای پلان، انحنای پروفیل، شاخص موقعیت توپوگرافی، شاخص رطوبت توپوگرافی، شاخص قدرت جريان، طول شیب، فاصله از آبراهه و تراکم زهکشی استفاده شد. در این پژوهش، عوامل مؤثر برآسانس روش‌های گوناگونی مانند فاصله برابر، شکست طبیعی، استانداردهای نرمال یا مشترک و بررسی منابع مطالعه Lee et al., 2012; Al-Abadi, 2015 طبقه‌بندی شده‌اند (Pourtaghi and Pourghasemi, 2014; Ozdemir, 2011; شیب، جهت و ارتفاع، بهدلیل تأثیر در میزان تغذیه سازنده‌ها و مقدار آبدی چشمه‌ها، اهمیت دارند (شکل ۲-الف، ب و پ). انحنای پلان برای سلول‌های دارای خطوط مقرر مثبت، سلول‌های دارای خطوط صاف صفر محدب منفی و سلول‌های دارای خطوط صاف صفر است. در انحنای پلان، که آن را «ترخ تغییرات جهت» تعییف می‌کنند، در پیکسل‌های دارای ارزش مثبت، جريان واگراست و ارزش‌های منفی به انحنای اشاره دارد که، در آن پیکسل‌ها، جريان همگراست و به‌سمت یک نقطه مرکز می‌شود (Schmidt et al., 2003; Wilson and Gallant, 2001) (شکل ۲-ت). انحنای پروفیل به معنای تغییر در وضعیت گرادیان شیب در

مورد نظر تحلیل شد. در این مطالعه، وزن مثبت ( $W^+$ ) نشان می‌دهد عاملی در محل چشم و وجود دارد و بزرگی این وزن بیانگر همبستگی بین آن عامل و موقعیت چشم است. همچنان، وزن منفی ( $W^-$ ) حضور نداشت. عامل مورد نظر در محل وقوع چشم و سطح منفی همبستگی را نشان می‌دهد. برای محاسبه وزن‌ها، از روابط (۵) و (۶) استفاده می‌شود (Ozdemir, 2011):

$$W^+ = \ln \left[ \frac{\text{تمدد کل چشم‌ها در کلانی موردنظر}}{\text{تمدد کل چشم‌ها}} \right] \quad (5)$$

تمدد کل چشم‌ها در کلانی موردنظر – تمدد پیکسل‌ها در کلانی موردنظر  
تمدد کل چشم‌ها در منطقه – تمدد کل پیکسل‌ها در منطقه

$$W^- = \ln \left[ \frac{\text{تمدد کل چشم‌ها در کلانی دیگر}}{\text{تمدد کل چشم‌ها در منطقه}} \right] \quad (6)$$

تمدد کل پیکسل‌های چشم‌ها در دیگر کلانی‌ها – تمدد پیکسل‌ها در کلانی‌های بدون چشم  
تمدد کل پیکسل‌های چشم‌ها – تمدد پیکسل‌ها در کلانی‌های بدون چشم‌ها

اختلاف بین وزن مثبت ( $W^+$ ) و وزن منفی ( $W^-$ ) مقدار ارتباط مکانی بین متغیری علتی و وقوع چشم‌ها را نشان می‌دهد (رابطه (۷)):

$$C = W^+ + W^- \quad (7)$$

اگر مقدار  $C$  نزدیک به ۱ باشد، به این معناست که طبقه مورد نظر از عوامل مؤثر برای تحلیل است و اگر مقدار آن صفر باشد، یعنی طبقه مورد نظر از جمله چنین عواملی به شمار نمی‌رود. برای محاسبه انحراف استاندارد، از رابطه (۸) استفاده می‌شود:

$$S(C) = \sqrt{S^2(W^+) + S^2(W^-)} \quad (8)$$

در این رابطه،  $S^2(W^+)$  و  $S^2(W^-)$  به ترتیب، واریانس  $W^+$  و واریانس  $W^-$  هستند. برای محاسبه وزن نهایی ( $W_{final}$ )، از رابطه (۹) استفاده می‌شود:

$$W_{final} = \left( \frac{C}{S(C)} \right) \quad (9)$$

پس از اینکه مقدار وزن نهایی ( $W_{final}$ ) برای هر پیکسل از منطقه مورد مطالعه محاسبه شد، شاخص پتانسیل چشم‌آب زیرزمینی برای هر پیکسل، با

شاخص موقعیت توپوگرافی (TPI) با استفاده از رابطه Wilson and Gallant, 2001 (Weiss, 2001) (شکل ۲-خ):

$$TPI = Z_0 - \frac{1}{n_R} \sum Z_t \quad (4)$$

در رابطه بالا،  $Z_0$  ارتفاع در نقطه مرکزی،  $n$  تعداد کل نقاط اطراف درنظر گرفته شده در ارزیابی و SPI ارتفاع از شبکه‌اند. در این پژوهش، نقشه‌های TWI، LS و TPI با استفاده از نرم‌افزار SAGA-GIS تهیه شد. با به کار گرفتن نقشه‌های زمین‌شناسی ۱:۱۰۰۰۰۰ شیت تهران و مرزن‌آباد، منطقه مورد مطالعه روی آنها انتخاب و پس از مشخص کردن محدوده واحدهای سنگ‌شناسی موجود در آن، نقشه این واحدها تهیه شد (شکل ۲-د). پس از استخراج گسل‌ها از نقشه زمین‌شناسی، نقشه فاصله از گسل‌ها و تراکم گسل‌ها به دست آمد (شکل‌های ۲-ذ و ۲-ر). نقشه‌های فاصله از آبراهه‌ها، با استخراج شبکه آبراهه‌ها از مدل رقومی ارتفاع، تهیه شد (شکل ۲-ز). نقشه تراکم زهکشی به صورت نسبت مجموع طول کلیه آبراهه‌ها در یک حوضه زهکشی بر حسب کیلومتر، به مساحت کل حوضه زهکشی بر حسب کیلومتر مربع، حاصل شد (شکل ۲-ژ).

## ۲-۱-۲- مدل وزنی شاهد (WofE)

ایده WofE می‌تواند چندین الگوی دودویی را ترکیب کند تا بتوان دیگر الگوی‌های دودویی را پیش‌بینی کرد (Bonham-Carter, 1994). با استفاده از لایه مکان چشم‌ها و داده‌های مکانی عوامل مؤثر در وقوع آنها، WofE (مدل احتمالی بیزی) برای اندازه گیری وزن هر یک از عوامل مرتبط به کار می‌رود. این وزن‌ها را می‌توان، با تحلیل روابط مکانی بین محل چشم‌ها و هر یک از عوامل مؤثر، استخراج کرد. با استفاده از مدل وزنی شاهد، روابط مکانی بین چشم‌ها و تمامی عوامل

مقدار دقت مدل را، به صورت کمی، برآورد می‌کند (Shuin et al., 2012). از آنالیز منحنی ROC برای تعیین دقت و کارآیی مدل استفاده می‌شود.

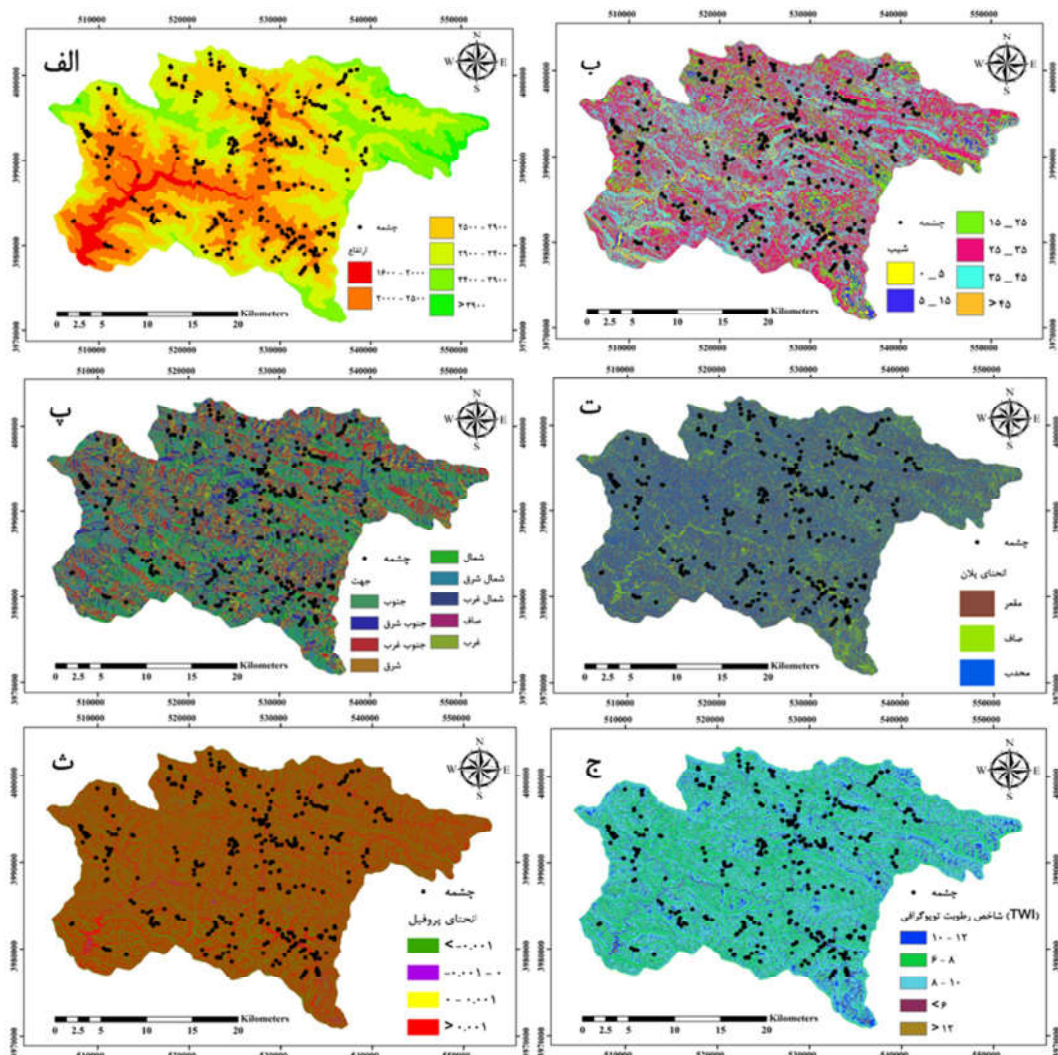
استفاده از رابطه (۱۰)، محاسبه می‌شود:

$$\text{رابطه (۱۰)}$$

در این تحقیق، به منظور بررسی درستی مدل‌سازی مکانی رخداد چشمهدای آب زیرزمینی، از منحنی ROC<sup>۱</sup> استفاده شد و درنهایت، سطح زیر منحنی، که نشان‌دهنده دقت مدل است، به دست آمد. این منحنی از کارآمدترین روش‌ها در ارائه ویژگی‌های تشخیصی، شناسایی احتمالات و پیش‌بینی سیستم‌هاست که

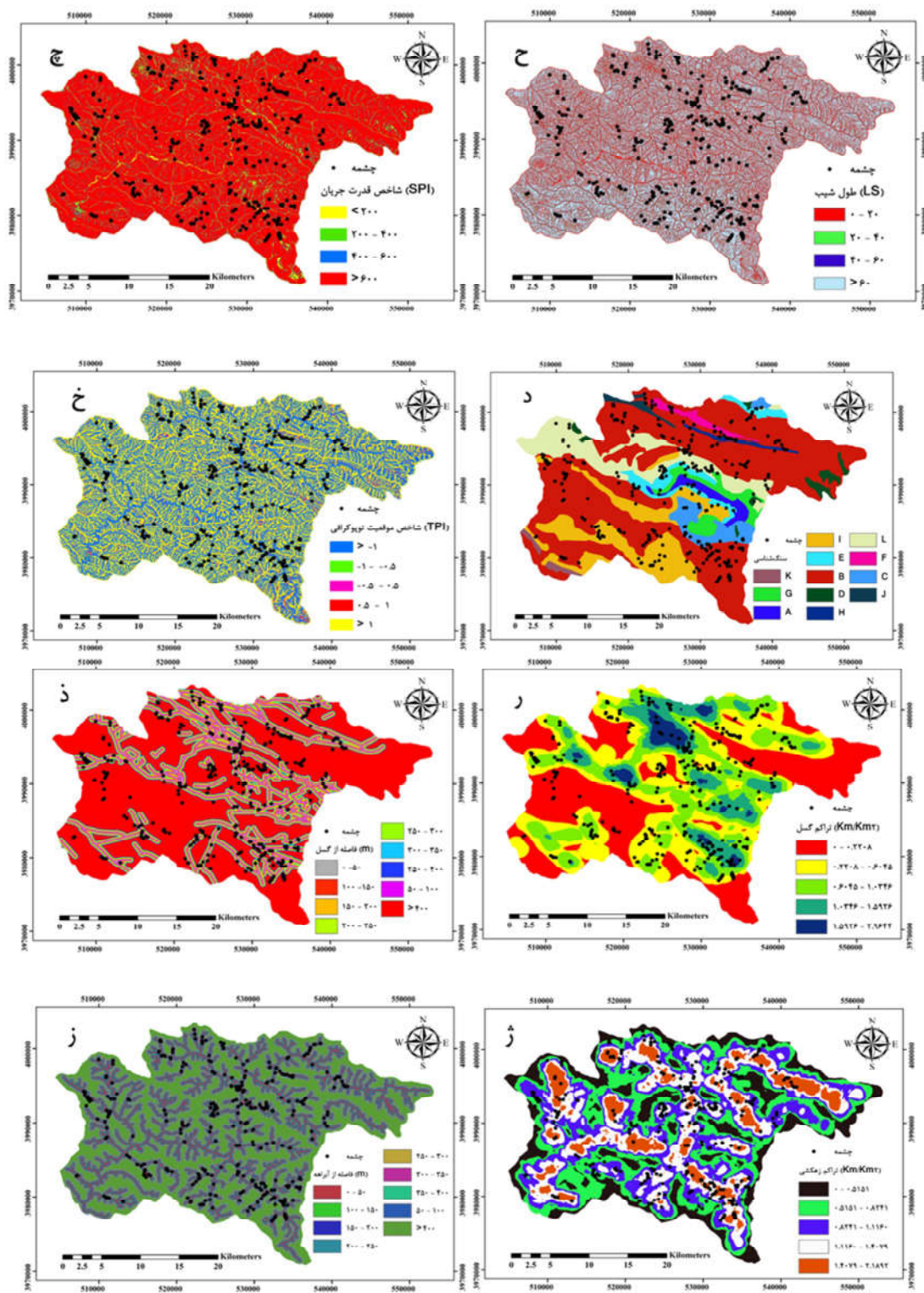
## ۲-۲-۲- نتایج

نتایج به دست‌آمده از ارتباط مکانی بین مکان چشمهدای ها و هریک از عوامل مؤثر در رخداد آنها، که با استفاده از مدل وزنی شاهد محاسبه شده، در شکل ۲ و جدول ۱ ارائه شده است.



1. Receiver Operating Characteristics

حسین امامی و همکاران



شکل ۲. لایه‌های ورودی به مدل وزنی شاهد، ارتفاع (الف)، درجه شیب (ب)، جهت (پ)، انحنای پلان (ت)، انحنای پروفیل (ث)، شاخص رطوبت توپوگرافی (ج)، شاخص قدرت جریان (چ)، طول شیب (ح)، شاخص موقعیت توپوگرافی (خ)، سنگشناسی (د)، فاصله از گسل (ذ)، تراکم گسل (ر)، فاصله از آبراهه (ز)، تراکم زهکشی (ژ).

کاربرد نمایه‌های ژئومر فومتری در مدل‌سازی مکانی رخداد ...

جدول ۱. نتایج استفاده از مدل وزنی شاهد در منطقه مورد مطالعه

(C) C/S	(C) S	(W-) S2	(W+) S2	C	W-	W+	تعداد چشممه‌ها	تعداد پیکسل‌ها	کلاس	عامل
-۰/۶۶	۰/۲۰	۰/۰۰۲	۰/۰۴	-۰/۱۳	۰/۰۲	-۰/۱۱	۲۵	۱۲۶۲۶۲	۱۶۰۰-۲۱۰۰	ارتفاع (متر)
۱۰/۰۱	۰/۱۰	۰/۰۰۳	۰/۰۰۶	۱/۰۲	-۰/۲۴	۰/۷۷	۱۵۶	۳۲۳۴۵۴	۲۱۰۰-۲۴۰۰	
۴/۲۷	۰/۱۱	۰/۰۰۳	۰/۰۱	۰/۴۹	-۰/۰۶	۰/۴۲	۹۹	۲۹۱۱۹۶	۲۴۰۰-۲۶۰۰	
-۲/۴۵	۰/۱۱	۰/۰۰۳	۰/۰۱	-۰/۲۸	-۰/۱۳	-۰/۱۴	۱۰۰	۵۲۲۵۴۵	۲۶۰۰-۲۹۰۰	
-۵/۵۱	۰/۱۱	۰/۰۰۲	۰/۰۴	-۱/۱۸	۰/۱۵	-۱/۰۳	۲۳	۲۹۰۶۶۲	۲۹۰۰-۳۱۰۰	
-۶/۲۰	۰/۴۱	۰/۰۰۲	۰/۱۶	-۲/۵۵	۰/۱۸	-۲/۳۶	۶	۲۸۵۸۶۵	۳۱۰۰-۳۴۰۰	
.	.	۰/۰۰۲	.	.	۰/۱۳	.	۰	۱۹۴۴۶۰	۳۴۰۰-۳۷۰۰	
.	.	۰/۰۰۲	.	.	۰/۰۶	.	۰	۱۰۱۶۰۸	۳۷۰۰-۴۴۶۸	
۶/۰۳	۰/۲۱	۰/۰۰۲	۰/۰۴	۱/۳۲	-۰/۰۴	۱/۲۸	۲۲	۳۱۸۷۱	۰-۵	درجه شيب
۱۲/۲۴	۰/۱۱	۰/۰۰۳	۰/۰۱	۱/۴۵	-۰/۱۸	۱/۲۶	۹۲	۱۳۶۲۴۷	۵-۱۵	
۶/۶۰	۰/۱۰	۰/۰۰۳	۰/۰۰۸	۰/۷۱	-۰/۱۶	۰/۵۴	۱۲۴	۳۷۶۳۴۷	۱۵-۲۵	
-۵/۳۸	۰/۱۰	۰/۰۰۳	۰/۰۰۷	-۰/۵۷	۰/۲۲	-۰/۳۵	۱۳۱	۹۷۰۹۸۶	۲۵-۳۵	
-۷/۳۴	۰/۱۷	۰/۰۰۲	۰/۰۲	-۱/۲۶	۰/۲۰	-۱/۵	۳۷	۵۵۶۳۵۸	۳۵-۴۵	
-۲/۴۸	۰/۵۷	۰/۰۰۲	۰/۳۳	-۱/۴۳	۰/۰۲	-۱/۴۱	۳	۶۴۲۲۴۳	<۴۵	
۰/۶۰	۰/۵۰	۰/۰۰۲	۰/۲۵	۰/۳۰	-۰/۰۰۲	۰/۲۹	۴	۹۷۴۲	صاف	جهت
-۲/۹۶	۰/۱۳	۰/۰۰۲	۰/۰۱	-۰/۴۱	۰/۰۷	-۰/۳۳	۶۱	۲۸۰۸۵۶	شمال	
-۳/۲۱	۰/۱۳	۰/۰۰۲	۰/۰۱	-۰/۴۴	۰/۰۸	-۰/۳۵	۶۳	۲۹۶۰۹۲	شمال‌شرق	
-۲/۴۹	۰/۱۴	۰/۰۰۲	۰/۰۱	-۰/۷۳	۰/۰۴	-۰/۲۸	۵۲	۲۲۷۰۰۷	شرق	
-۳/۳۰	۰/۱۶	۰/۰۰۲	۰/۰۲	-۰/۵۳	۰/۰۷	-۰/۴۶	۴۲	۲۲۰۱۳۸	جنوب‌شرق	
-۵/۲۸	۰/۱۵	۰/۰۰۲	۰/۰۲	-۰/۸۱	۰/۱۳	-۰/۶۷	۴۸	۳۰۹۳۵۱	جنوب	
-۵/۹۸	۰/۱۵	۰/۰۰۲	۰/۰۲	-۰/۹۵	۰/۱۵	-۰/۷۹	۴۴	۳۲۰۴۰۴	جنوب‌غرب	
-۳/۹۶	۰/۱۶	۰/۰۰۲	۰/۰۲	-۰/۶۳	۰/۰۸	-۰/۵۴	۴۳	۲۴۴۴۵۵	غرب	
-۲/۲۸	۰/۱۴	۰/۰۰۲	۰/۰۱	-۰/۳۳	۰/۰۵	-۰/۲۸	۵۲	۲۲۸۰۰۷	شمال‌غرب	
۷/۰۰۱	۰/۰۹	۰/۰۰۵	۰/۰۰۴	۰/۶۹	-۰/۳۱	۰/۳۸	۲۱۸	۷۷۵۷۳۶	مقرر	انحنای پلان
۰/۸۳	۰/۱۱	۰/۰۰۳	۰/۰۱	۰/۰۹	-۰/۰۲	۰/۰۷	۹۵	۴۵۹۸۰۸	صاف	
-۷/۴۱	۰/۱۱	۰/۰۰۳	۰/۰۱	-۰/۸۶	۰/۲۷	-۰/۵۸	۹۶	۹۰۰۵۰۸	محدب	
-۷/۶۵	۰/۱۰	۰/۰۰۳	۰/۰۰۸	-۰/۸۲	۰/۳۲	-۰/۵	۱۲۱	۱۰۴۷۲۷۶	-۰/۰۰۱>	انحنای بروفیل
۱/۲۷	۰/۲۹	۰/۰۰۲	۰/۰۸	۰/۳۷	-۰/۰۰۹	۰/۳۶	۱۲	۴۳۵۷۸	-۰/۰۰۱-۰	
.	.	۰/۰۰۲	.	.	۰/۰۰۰	.	۰	۱۵۱۴	۰/۰۰۱-۰	
۷/۳۴	۰/۱۰	۰/۰۰۷	۰/۰۰۳	۰/۷۷	-۰/۴۵	۰/۳۲	۲۷۶	۱۰۴۳۶۸۴	<۰/۰۰۱	
.	.	۰/۰۰۲	.	.	۰/۰۰۱	.	۰	۳۰۶۱	۶>	TWI
-۸/۵۱	۰/۱۷	۰/۰۰۲	۰/۰۲	-۱/۵۲	۰/۲۶	-۱/۲۶	۳۴	۶۲۷۷۰۷	۶-۸	
-۶/۲۴	۰/۱۰	۰/۰۰۳	۰/۰۰۶	-۰/۶۳	۰/۲۹	-۰/۳۳	۱۵۸	۱۱۵۸۳۶۵	۸-۱۰	
۷/۶۶	۰/۱۱	۰/۰۰۳	۰/۰۰۹	۰/۸۷	-۰/۱۵	۰/۷۲	۱۰۱	۲۵۵۹۸۹	۱۰-۱۲	
۱۹/۹۳	۰/۱۰	۰/۰۰۳	۰/۰۰۸	۲/۱۸	-۰/۲۸	۱/۸۹	۱۱۶	۹۰۹۳۰	<۱۲	
-۰/۹۹	۰/۳۰	۰/۰۰۲	۰/۰۹	-۰/۳۰	۰/۰۰۹	-۰/۲۹	۱۱	۷۷۰۳۷	۲۰۰>	SPI
-۰/۹۹	۰/۲۵	۰/۰۰۲	۰/۰۶	-۰/۲۵	۰/۰۱	-۰/۲۴	۱۶	۱۰۶۳۷۴	۲۰۰-۴۰۰	
-۰/۹۸	۰/۲۲	۰/۰۰۲	۰/۰۴	-۰/۲۲	۰/۰۱	-۰/۲۰	۲۱	۱۳۵۰۷۲	۴۰۰-۶۰۰	
۱/۷۹	۰/۱۵	۰/۰۲	۰/۰۰۲	-۰/۲۷	-۰/۲۳	۰/۰۳	۳۶۱	۱۸۱۷۵۶۹	<۶۰۰	

حسین امامی و همکاران

ادامه جدول ۱.

(C) C/S	(C) S	(W-) S2	(W+) S2	C	W-	W+	تعداد چشمه‌ها	تعداد پیکسل‌ها	کلاس	عامل
-۲/۰۹	۰/۱۱	۰/۰۰۳	۰/۰۰۹	-۰/۲۳	۰/۰۶	-۰/۱۶	۱۰۸	۶۶۶۹۲۴	۰-۲۰	LS
-۱/۱۳	۰/۱۵	۰/۰۰۲	۰/۰۲	-۰/۱۸	۰/۰۲	-۰/۱۶	۴۴	۲۶۹۶۷۲	۲۰-۴۰	
-۲/۲۴	۰/۱۹	۰/۰۰۲	۰/۰۳	-۰/۴۴	۰/۰۳	-۰/۴۱	۲۷	۲۱۲۷۵۳	۴۰-۶۰	
۴/۰۴	۰/۰۹	۰/۰۰۵	۰/۰۰۴	۰/۴۰۳	۰/۲۰	۰/۱۹	۲۳۰	۹۸۶۷۰۳	<۶۰	
۱۴/۲۰	۰/۱۵	۰/۰۲	۰/۰۰۲	۲/۲۲	-۱/۵۵	۰/۶۶	۳۶۳	۹۷۱۴۵۱	-۱>	TPI
-۱/۵۶	۰/۴۱	۰/۰۰۲	۰/۱۶	-۰/۶۴	۰/۰۱	-۰/۶۳	۶	۵۸۸۴۵	-۱--۰.۵	
-۲/۴۸	۰/۳۰	۰/۰۰۲	۰/۰۹	-۰/۷۶	۰/۰۳	-۰/۷۲	۱۱	۱۱۸۹۵۴	-۰.۵-۰.۵	
.	.	۰/۰۰۲	.	.	۰/۰۲	.	.	۵۷۷۷۸	۰.۵-۱	
-۱۲/۱۰	۰/۱۹	۰/۰۰۲	۰/۰۳	-۲/۳۳	۰/۵۱	-۱/۸۱	۲۹	۹۲۹۰۲۴	<۱	
-۰/۹۵	۰/۴۵	۰/۰۰۲	۰/۲۰	-۰/۴۳	۰/۰۰۷	-۰/۴۲	۵	۳۹۸۹۳	سنگ شناسی	
-۱/۴۵	۰/۰۹	۰/۰۰۵	۰/۰۰۴	-۰/۱۴	۰/۰۹	-۰/۰۵	۲۲۰	۱۲۰۸۴۷۲	آندزیت و آذرآواری	
۲/۷۹	۰/۱۹	۰/۰۰۲	۰/۰۳۵	۰/۵۴۸	-۰/۰۲	۰/۵۱	۲۸	۸۶۹۸۰	آهک و دولومیت	
.	.	۰/۰۰۲	.	.	۰/۰۱	.	.	۳۴۹۰۲	آهک و مارن	
۲/۵۶	۰/۲۰	۰/۰۰۲	۰/۰۴	۰/۵۳	-۰/۰۲	۰/۵۰	۲۵	۷۸۸۰۰	آهک (E)	
۰/۶۹	۰/۳۸	۰/۰۰۲	۰/۱۴	۰/۲۶	-۰/۰۰۳	۰/۲۶	۷	۲۸۱۶۱	توف و آندرزیت (F)	
-۲/۳۳	۰/۴۴	۰/۰۰۲	۰/۲۰	-۱/۵	۰/۰۲	-۱/۰۲	۵	۷۳۰۵۲	دولومیت (G)	
۷/۶۰	۰/۲۲	۰/۰۰۲	۰/۰۵	۱/۷۴	-۰/۰۴	۱/۷۰	۲۰	۱۹۰۱۷	سنگ‌های آتشفسانی (H)	
-۲/۰۵	۰/۱۶	۰/۰۰۲	۰/۰۲	-۰/۳۳	۰/۰۴	-۰/۲۹	۴۲	۲۹۳۶۸۶	شیل (I) کنگلومرا.	
-۱/۲۴	۱	۰/۰۰۲	۱	-۱/۲۴	۰/۰۰۶	-۱/۲۳	۱	۱۷۹۶۴	مارن و MASHE-SANG (J)	
.	.	۰/۰۰۲	.	.	۰/۰۰۶	.	.	۱۵۰۵۶	گرانیت (K)	
۱/۵۴	۰/۱۴	۰/۰۰۲	۰/۰۱	۰/۲۲	-۰/۰۲	۰/۱۹	۵۶	۲۴۰۰۶۹	MASHE-SANG و شیل (L)	
۲/۰۸	۰/۱۷	۰/۰۰۲	۰/۰۲	۰/۳۶	-۰/۰۲	۰/۳۴	۳۵	۱۲۹۸۰۴	فاصله از گسل (m)	
۳/۸۲	۰/۱۶	۰/۰۰۲	۰/۰۲	۰/۶۲	-۰/۰۴	۰/۵۷	۴۲	۱۲۳۵۴۷	۵۰-۱۰۰	
۲/۰۹	۰/۱۹	۰/۰۰۲	۰/۰۳	۰/۴۱	-۰/۰۲	۰/۳۸	۲۸	۹۹۲۶۷	۱۰۰-۱۵۰	
۳/۰۶	۰/۱۷	۰/۰۰۲	۰/۰۲	۰/۵۴	-۰/۰۳	۰/۵۰	۳۵	۱۱۰۲۳۱	۱۵۰-۲۰۰	
۰/۷۹	۰/۲۲	۰/۰۰۲	۰/۰۵	۰/۱۸	-۰/۰۰۸	۰/۱۷	۲۰	۸۷۷۶۶	۲۰۰-۲۵۰	
-۰/۲۰	۰/۲۴	۰/۰۰۲	۰/۰۵	-۰/۰۵	۰/۰۰۲	-۰/۰۴	۱۷	۹۳۲۷۴	۲۵۰-۳۰۰	
۲/۷۰	۰/۲۰	۰/۰۰۲	۰/۰۳	۰/۵۴	-۰/۰۲	۰/۵۲	۲۶	۸۰۶۳۴	۳۰۰-۳۵۰	
۰/۷۱	۰/۲۴	۰/۰۰۲	۰/۰۵	۰/۱۷	-۰/۰۰۶	۰/۱۷	۱۷	۷۴۸۰۲	۳۵۰-۴۰۰	
-۶/۷۱	۰/۰۹	۰/۰۰۴	۰/۰۰۵	-۰/۶۶	۰/۳۶	-۰/۳۰	۱۸۹	۱۳۳۶۷۲۷	۴۰۰<	

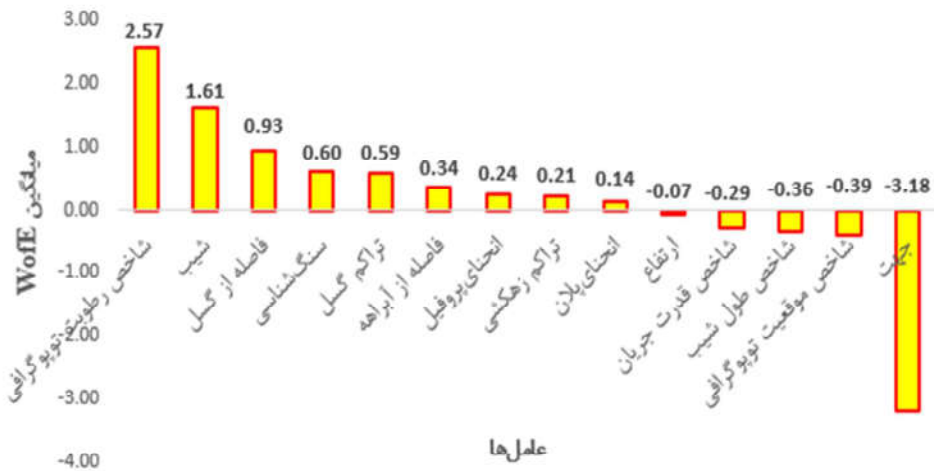
کاربرد نمایه‌های ژئومر فومتری در مدل‌سازی مکانی رخداد ...

ادامه جدول ۱.

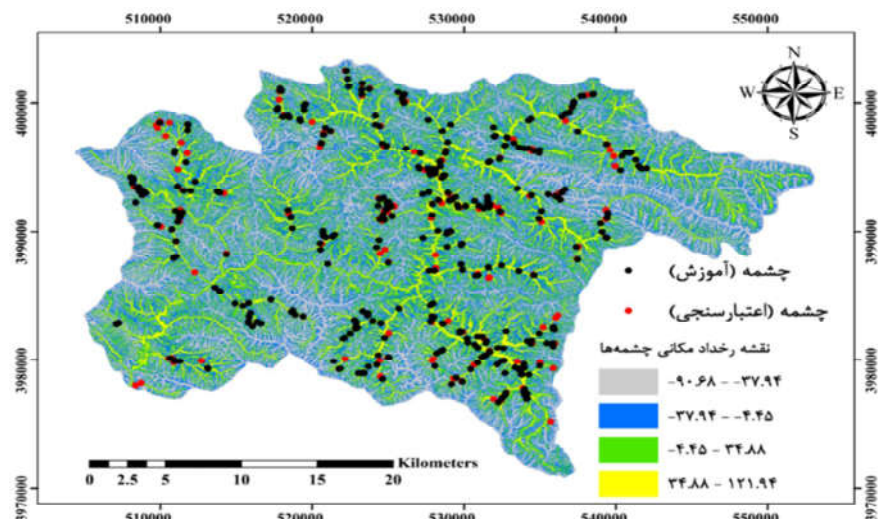
(C) C/S	(C) S	(W-) S2	(W+) S2	C	W-	W+	تعداد چشمه‌ها	تعداد پیکسل‌ها	کلاس	عامل
-۹/۰۲	۰/۱۵	۰/۰۰۲	۰/۰۰۲	-۱/۴	۰/۳۰	-۱/۰۹	۴۷	۷۳۶۷۰۷	۰-۰/۲۲۰۸	تراکم گسل
۳/۳۸	۰/۱۰	۰/۰۰۳	۰/۰۰۶	۰/۳۵	-۰/۱۱	۰/۲۴	۱۴۴	۵۹۱۱۰۰	-۰/۱۶۰۴۵ ۰/۲۲۰۸	(km/km <sup>2</sup> )
۳/۳۵	۰/۱۰	۰/۰۰۳	۰/۰۰۸	۰/۳۶	-۰/۰۹	۰/۲۶	۱۲۳	۴۹۲۵۲۸	-۱/۰۳۴۶ ۰/۶۰۴۵	
۵/۲۸	۰/۱۲	۰/۰۰۳	۰/۰۱	۰/۶۵	-۰/۱۰	۰/۵۵	۸۲	۲۴۶۷۶۸	-۱/۰۳۴۶ ۱/۰۳۴۶	
-۰/۰۵	۰/۲۸	۰/۰۰۲	۰/۰۷	-۰/۰۱	۰/۰۰۰۵	-۰/۰۱	۱۳	۳۸۹۴۹	-۲/۹۶۴۴ ۱/۵۹۲۶	
۲۸/۲۴	۰/۱۰	۰/۰۰۸	۰/۰۰۳	۳/۰۶	-۱/۱۱	۱/۹۴	۲۸۸	۲۱۴۶۳۹	۰-۵۰	فاصله از آبراهه‌ها
۱/۰۷	۰/۱۵	۰/۰۰۲	۰/۰۲	۰/۱۶	-۰/۰۱	۰/۱۵	۴۵	۲۰۱۹۱۲	۵۰-۱۰۰	(m)
۰/۲۸	۰/۱۸	۰/۰۰۲	۰/۰۳	۰/۰۵	-۰/۰۰۴	۰/۰۴	۳۲	۱۵۹۰۹۴	۱۰۰-۱۵۰	
-۳/۳۴	۰/۲۶	۰/۰۰۲	۰/۰۶	-۰/۱۸۸	۰/۰۵	-۰/۸۳	۱۵	۱۷۹۶۵۷	۱۵۰-۲۰۰	
-۳/۴۱	۰/۳۲	۰/۰۰۲	۰/۱۰	-۱/۰۹	۰/۰۴	-۱/۰۴	۱۰	۱۴۸۷۳۹	۲۰۰-۲۵۰	
-۳/۶۸	۰/۳۲	۰/۰۰۲	۰/۱۰	-۱/۱۷	۰/۰۵	-۱/۱۲	۱۰	۱۶۰۹۲۲	۲۵۰-۳۰۰	
-۳/۷۸	۰/۷۰	۰/۰۰۲	۰/۰۵	-۲/۶۸	۰/۰۶	-۲/۶۲	۲	۱۴۳۴۸۶	۳۰۰-۳۵۰	
-۳/۶۹	۰/۷۰	۰/۰۰۲	۰/۰۵	-۲/۶۱	۰/۰۶	-۲/۵۵	۲	۱۳۴۴۹۷	۳۵۰-۴۰۰	
-۸/۵۹	۰/۴۴	۰/۰۰۲	۰/۲۰	-۳/۸۶	۰/۴۵	-۳/۴۱	۵	۷۹۳۱۰۶	۴۰۰<	
-۶/۵۹	۰/۲۹	۰/۰۰۲	۰/۰۸	-۱/۹۳	۰/۱۵	-۱/۷۷	۱۲	۳۶۸۶۷۳	۰-۰/۵۱۵۱	تراکم زهکشی (km/km <sup>2</sup> )
-۴/۶۶	۰/۱۳	۰/۰۰۲	۰/۰۱	۰/۶۴	۰/۱۲	-۰/۵۲	۶۱	۵۳۶۰۴۹	-۰/۱۸۲۴۱ ۰/۵۱۵۱	
-۰/۳۷	۰/۱۱	۰/۰۰۳	۰/۰۱	-۰/۰۴	۰/۰۱	-۰/۰۳	۹۷	۵۲۳۷۸۱	-۱/۱۱۶۰ ۰/۱۸۲۴۱	
۹/۵۶	۰/۰۹	۰/۰۰۴	۰/۰۰۵	۰/۹۵	-۰/۳۰	۰/۶۴	۱۷۶	۴۸۱۱۴۸	-۱/۴۰۷۹ ۱/۱۱۶۰	
۳/۱۳	۰/۱۳	۰/۰۰۲	۰/۰۰۲	۰/۴۲	-۰/۰۵	۰/۳۷	۶۳	۲۲۶۴۰۱	-۲/۱۸۹۲ ۱/۴۰۷۹	

طبقه‌های دارای پتانسیل رخداد پایین، متوسط، بالا و خیلی بالا طبقه‌بندی شد (شکل ۳) (Ozdemir, 2011; Pourtaghi and Pourghasemi, 2014; Mousavi et al., 2014). بیشتر مساحت منطقه مورد مطالعه مربوط به طبقه متوسط است که ۳۵/۵۸٪ از کل منطقه را پوشش داده است. از سوی دیگر، منطقه‌های مربوط به طبقه کم، بالا و بسیار بالا، به ترتیب، ۰/۳۵٪، ۰/۲۶٪ و ۰/۱۲٪ از منطقه مورد مطالعه را به خود اختصاص داده‌اند (جدول ۲).

میانگین وزن هریک از معیارهای مؤثر در مدل‌سازی مکانی رخداد چشمه‌های آب زیرزمینی، برای منطقه مورد مطالعه، در شکل ۳ نشان داده شده است. با توجه به این شکل، عامل‌های جهت شیب و شاخص رطوبت توپوگرافی، به ترتیب، کمترین و بیشترین تأثیر را در رخداد چشمه‌های آب زیرزمینی دارند. نقشه رخداد مکانی چشمه‌های آب زیرزمینی، که با استفاده از روش WofE تهیه شده است، به



شکل ۳. میانگین WofE هریک از معیارهای مؤثر در مدل سازی مکانی رخداد چشممهای آب زیرزمینی



شکل ۳. نقشه رخداد مکانی چشممهای آب زیرزمینی با استفاده از مدل وزنی شاهد (WofE)

جدول ۲. کلاس‌های رخداد چشممهای آب زیرزمینی در منطقه مورد مطالعه

پتانسیل رخداد چشمه	کلاس	مساحت (km <sup>2</sup> )	مساحت (%)
کم	-۹۰/۶۸ - -۳۷/۹۴	۲۴۱/۳۵	۲۸/۳۵
متوسط	-۳۷/۹۴ - -۴/۴۵	۳۰۲/۸۶	۳۵/۵۸
زیاد	-۴/۴۵ - -۳۴/۸۸	۲۲۲/۳۱	۲۶/۱۲
بسیار زیاد	۳۴/۸۸ - ۱۲۱/۹۴	۸۴/۶۱	۹/۹۴

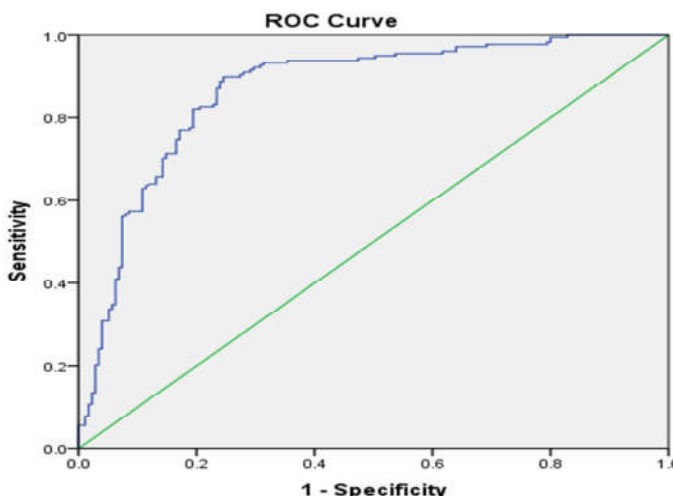
### جدول ۳. نتایج محاسبه منحنی ROC

مساحت زیر منحنی	فواصل اطمینان مجانبی	%۹۵
حد بالایی	حد پایینی	
۰/۸۶۶		
۰/۸۲۷	۰/۹۰۵	

### ۳- بحث و نتیجه‌گیری

با توجه به نتایج جدول ۱، تحلیل WofE ارتباط بین رخداد چشمه‌ها و ارتفاع نشان می‌دهد طبقه ارتفاعی  $WofE = 10/0.1 \text{ متر} - 2400 - 2100$  نتیجه است که این نکته احتمال بسیار بالای رخداد چشمه‌ها در این طبقه ارتفاعی را می‌رساند. با افزایش ارتفاع، از این طبقه ارتفاعی به بعد، می‌بینیم که مقدار WofE کاهش می‌یابد و در طبقه‌های ارتفاعی  $3700 - 3400$  و  $3400 - 3700$  مقدار  $WofE = 4368 - 4360$  به صفر می‌رسد. در طبقات بالایی ارتفاع، به دلیل تغذیه محدودتر و کم شدن سطح گیرش آب، اصولاً چشمه‌های کمتری مشاهده می‌شود. ارزیابی درجه شیب نشان می‌دهد که طبقه  $5 - 15$  درجه بالاترین مقدار ( $WofE = 12/24$ ) را دارد و

دقت مدل با روش ROC بررسی شد. در روش ROC، سطح زیر منحنی (AUC)<sup>۱</sup> در محدوده  $0/5$  تا  $1$ ، به منظور بررسی دقیقی مدل، استفاده می‌شود (Moore, 1991). در ارزیابی به روش ROC، هر چه سطح زیر منحنی بیشتر باشد، دقیقی مدل بیشتر است. مدل ایده‌آل مقدار AUC نزدیک به  $1$  را نشان می‌دهد؛ در حالی که مقدار نزدیک به  $0/5$  بی‌دقیقی در مدل را می‌رساند (Fawcett, 2006). ارتباط کیفی بین AUC و دقیقی پیش‌بینی را می‌توان بدین صورت طبقه‌بندی کرد:  $0/9 - 1$  بسیار عالی،  $0/8 - 0/9$  بسیار خوب،  $0/7 - 0/8$  خوب،  $0/6 - 0/7$  متوسط و  $0/5 - 0/6$  ضعیف (Pourghasemi et al., 2013). نتایج پیش‌بینی منحنی‌ها در شکل ۴ و جدول ۳ نشان آمدند است. با توجه به شکل و جدول یادشده، مشخص می‌شود مدل‌سازی مکانی رخداد چشمه‌های آب زیرزمینی، با استفاده از مدل وزنی شاهد،  $AUC = 0/866$  است که صحت پیش‌بینی آن با  $86/6\%$  تناسب دارد. بنابراین، می‌بینیم مدل‌سازی مکانی رخداد چشمه‌های آب زیرزمینی در منطقه مورد مطالعه، با استفاده مدل وزنی شاهد، دقیقی بسیار خوبی دارد.



شکل ۴. منحنی ROC به منظور ارزیابی مدل وزنی شاهد

1. Area Under the Curve

توبوگرافی (TWI) و طبقه  $>1$ - در عامل شاخص موقعیت توبوگرافی (TPI)، به ترتیب، دارای بیشترین رابطه با رخداد مکانی چشممهای آب زیرزمینی اند. همچنین، در عامل شاخص موقعیت توبوگرافی (TPI)، طبقه  $>1$ ، در عامل تراکم گسل، طبقه  $220.8 - 200$  و در عامل فاصله از رودخانه،  $400$  متر  $>$  به ترتیب، کمترین اهمیت را در مدل سازی مکانی رخداد چشممهای آب زیرزمینی دارند. نتایج این تحقیق نشان داد دقت مدل وزنی شاهد (WofE) بسیار بالاست که این نکته با نتایج مطالعات ازدمیر (۲۰۱۱) و ال آبادی (۲۰۱۵) هم خوانی دارد.

با توجه به اینکه پیش‌بینی منابع آب زیرزمینی منطقه‌ها، از لحاظ پرآکنش مکانی، مشکل است و به منابع اطلاعاتی متفاوتی نیاز دارد؛ مدل سازی مکانی رخداد چشممهای آب زیرزمینی را می‌توان، با استفاده از عوامل گوناگون مکانی، پیش‌بینی کرد. این تحقیق نشان داد که استفاده از سیستم اطلاعات جغرافیایی (GIS) و تکنیک‌های سنجش از دور (RS)، به همراه نمایه‌های ژئومرمتری، برای پیش‌بینی منابع آب زیرزمینی با کمترین اطلاعات، امکان‌پذیر است. در نهایت، با توجه به این یافته‌ها، مشخص شد که دقت روش وزنی شاهد (WofE) در مدل سازی مکانی رخداد چشممهای بسیار زیاد است و می‌توان از این روش، به صورت کاربردی و با دقت بالا، در مطالعات چشممهای آب زیرزمینی بهره برد.

نظر به اینکه وجود منابع آب زیرزمینی، به ویژه چشممهای مناطق کارستی و آهکی سخت، در دوره‌های خشکسالی، از مطمئن‌ترین منابع برای تأمین آب شمرده می‌شود؛ با بهره‌گیری از نمایه‌های ژئومرمتری می‌توان مناطق و سازندهای زمین‌شناسی مختلف را در زمینه تأمین منابع آب، اولویت‌بندی کرد. همچنین، مدل سازی مکانی رخداد چشممهای آب زیرزمینی می‌تواند به برنامه‌ریزان، در افزایش پتانسیل سرزمنی، یاری برساند. با توجه به اهمیت آب زیرزمینی که در این پژوهش نیز به آن اشاره شد، پیشنهاد می‌شود محققان و پژوهشگران، در زمینه مدل سازی مکانی رخداد این منابع بالارزش، از مدل‌های داده‌محور

پایین ترین مقدار ( $WofE = 7/34$ ) به طبقه  $35-45$  درجه متعلق است. در شیب‌های بسیار زیاد، به دلیل افزایش بیش از حد سرعت جریان سطحی آب، نفوذ پذیری بسیار کم است. در جهت صاف، کمترین مقدار چشممهای را داریم ولی، به دلیل مساحت کمتر آن در مقایسه با دیگر طبقه‌ها، بیشترین مقدار  $WofE$  در این طبقه ( $WofE = 0/6$ ) قرار دارد. در مورد پلان احنا، نتایج نشان می‌دهد شکل مقرر، به دلیل نفوذ بیشتر آب حاصل از نزولات جوی، بالاترین مقدار ( $WofE = 7/41$ ) دارد و شکل محدب، به دلیل نفوذ کمتر آب حاصل از نزولات جوی، دارای پایین‌ترین مقدار ( $WofE = 7/34$ ) است. در مورد پروفیل احنا، طبقه  $<1/000$  با مقدار  $WofE = 7/34$ ، بیشترین مقدار را دارد. در مورد شاخص رطوبت توبوگرافی، در طبقه  $<12$  ( $WofE = 19/93$ ) و همچنین شاخص قدرت جریان، طبقه  $<600$  ( $WofE = 0/79$ )، به دلیل رطوبت بیشتر، دارای بیشترین مقدار  $WofE$  هستند. در مورد طول شیب، بسیاری از چشممهای رخ داده است. شاخص موقعیت توبوگرافی بالاترین مقدار ( $WofE = 14/20$ ) در طبقه  $>1$ - را دارد. این نشان می‌دهد، در مناطق دره‌ای، احتمال رخداد چشممهای بیشتر است. در سنگ‌شناسی، بالاترین مقدار  $WofE = 7/60$  متعلق به گروه H (سنگ‌های آتش‌فشاری) است. ارتباط رخداد چشممهای و فاصله تا گسل‌های نشان می‌دهد فراوان ترین چشممهای رخ در طبقه  $50-100$  متر، با مقدار  $WofE = 3/82$ ، جای می‌گیرند. با توجه به تراکم گسل، نتایج نشان داد که طبقه  $1/5926-1/10346$  بالاترین مقدار  $WofE = 5/28$  را دارد. در مورد رابطه بین رخداد چشممهای و فاصله تا آبراهه‌ها، برای طبقه  $0-50$  متر،  $WofE = 28/24$  است. این نکته بیان می‌کند احتمال رخداد چشممهای در این طبقه بیشتر است. با افزایش فاصله از آبراهه‌ها، احتمال رخداد چشممهای کمتر می‌شود. تراکم زهکشی  $1/1160-1/4079 \text{ km/km}^2$  بیشترین مقدار ( $WofE = 9/56$ ) را دارد. این طبقه بیشترین رابطه را با رخداد چشممهای دارد. می‌توان نتیجه گرفت که طبقه  $50-0$  متر در عامل فاصله از رودخانه، طبقه  $<12$  در عامل شاخص رطوبت

- of Hydrological, Geomorphological and Biological Applications**, Hydrol. Process, 5, PP. 3–30.
- Ozdemir, A., 2011, **GIS-Based Groundwater Spring Potential Mapping in the Sultan Mountains (Konya, Turkey) Using Frequency Ratio, Weights of Evidence and Logistic Regression Methods and their Comparison**, J. Hydrol., 411(3–4), PP. 290–308.
- Pourghasemi, H.R., Moradi, H.R. & Fatemi Aghda, S.M., 2013, **GIS-Based Landslide Susceptibility Mapping with Probabilistic Likelihood Ratio and Spatial Multi-Criteria Evaluation Models (North of Tehran, Iran)**, Arab J. Geosci., doi: 10.1007/s12517-012-0825.
- Pourtaghi, Z.S & Pourghasemi, H.R., 2014, **GIS-Based Groundwater Spring Potential Assessment and Mapping in the Birjand Township, Southern Khorasan Province, Iran**, Hydrogeol. J., doi: 10.1007/s10040-013-1089-6.
- Schmidt, J., Evans, I.S. & Brinkmann, J., 2003, **Comparison of Polynominal Models of for Land Surface Cuvature Calculation**, International Jorunal of Geographical Information Science, V. 178, P. 797–814.
- Shuin, Y., Hotta, N., Suzuki, M. & Ogwa, K., 2012, **Estimating the Effects of Heavy Rainfall Conditions on Shallow Landslide Using a Distributed Landslide Conceptual Model**, Physics and Chemistry of Earth, 49, PP. 44–55.
- Singh, A.K. & Prakash, S.R., 2003, **An Integrated Approach of Remote Sensing, Geophysics and GIS to Evaluation of Groundwater Potentially of Ojhala Sub-Watershed, Mirzapur District, U.P., India**, <http://www.gisdevelopment.net>, Accessed on: 25 Aug. 2007.
- Wilson, J.P. & Gallant, J.C. (Eds.), 2000, **Terrain Analysis: Principles and Applications**, Wiley, New York, PP. 51–85.
- Weiss, A.D., 2001, **Topographic Position and Landforms Analysis**, Poster Presentation, ESRI Users Conference, San Diego, CA.

مانند شبکه‌های عصبی مصنوعی و ماشین بردار پشتیبان بهره بگیرند. همچنین شایان ذکر است که، برای دستیابی به دقیق‌تر، باید مناطق مؤثر و پایانه‌های شارژ آب چشممه‌ها، به همراه درجه آسیب‌پذیری آنها، بیشتر بررسی شوند.

#### ۴- سپاسگزاری

مراقب سپاس و قدردانی خود را از شرکت مدیریت منابع آب ایران، به دلیل تأمین داده‌های لازم برای این تحقیق، ابراز می‌کنیم.

#### ۵- منابع

- Al-Abadi, A.M., 2015, **Groundwater Potential Mapping at Northeastern Wasit and Missan Governorates, Iraq Using a Data-Driven Weights of Evidence Technique in Framework of GIS**, Environ Earth Sci., 74, PP. 1109–1124.
- Arthur, J., Wood, H.A., Baker, A.E., Cichon, J.R. & Raines, G.L., 2007, **Development and Implementation of a Bayesian Aquifer Vulnerability Assessment in Florida**, Nat. Res., 16, PP. 93–107.
- Banks, D. & Robins, N., 2002, **An Introduction to Groundwater in Crystalline Bedrock**, Norges geologiske undersøkelse, Trondheim, P. 64.
- Bonham-Carter, G.F., 1994, **Geographic Information Systems for Geoscientists: Modeling with GIS**, Pergamon, Ottawa.
- Fawcett, T., 2006, **An Introduction to ROC Analysis**, Pattern Recogn. Lett. 27(8). PP. 861–874.
- Lee, S., Kim, Y.S. & Oh, H.J., 2012, **Application of a Weights-of-Evidence Method and GIS to Regional Groundwater Productivity Potential Mapping**, Environ. Manag., 96(1), PP. 91–105.
- Moore, I.D. & Burch, G.J., 1986, **Sediment Transport Capacity of Sheet and Rill Flow: Application of Unit Stream Power Theory**, Water Res., 22(8), PP. 1350–1360.
- Moore, I.D., Grayson, R.B. & Ladson, A.R., 1991, **Digital Terrain Modeling: A Review**



سنجش از دور

، ایران GIS

سال دهم، شماره دوم، تابستان ۱۳۹۷  
Vol.10, No. 2, Summer 2018

سنجش از دور و GIS ایران  
Iranian Remote Sensing & GIS

61-74



## Application Indexes Geomorphometry Groundwater Springs on Spatial Modeling Occurrence at Central Alborz Probable with the Approach Weights-of-Evidence

Emami, H.<sup>1</sup>, Jafary, M.<sup>1</sup>, Nazari Samani, A.\*<sup>2</sup>, Malekian, A.<sup>2</sup>

1. M.Sc. Student of Watershed Management Engineering, Dep. of Arid & Mountainous Region Reclamation, Faculty of Natural Resources, University of Tehran

2. Associate Prof., Dep. of Arid & Mountainous Region Reclamation, Faculty of Natural Resources, University of Tehran

### Abstract

Spatial modeling of the groundwater springs occurrences allowed the identification of new springs for drinking, agriculture and industry. The objective of this study was spatial modeling of the groundwater springs occurrences using the geomorphometry indexes affecting the groundwater springs occurrences and Weights-of-evidence control model and evaluating this model in Central Alborz. Generally, 584 springs were identified in the study area that 409 (70%) of them were utilized for training and 175 (30%) springs for validation of Weights-of-evidence control model. 14 important geomorphometry indexes includin elevation, degree of slope, aspect, plan curvature, profile curvature, topographic wetnes index, stream power index, slope length, topography position index, lithology, distance of faults, fault density, distance from rivers and drainage density were chosen in the form of Weights-of-evidence control model for spatial modeling of the groundwater springs occurrences. According to Weights-of-evidence control model, aspect and topographic wetness index had the lowest and the highest impact on the ground water springs occurrences respectively. The map resulted from spatial modeling of groundwater springs occurrences were classified into 4 classes including the low, middle, high, and very high potential occurrences. The model was validated using ROC method, which the area under the curve was 0.866. This means the weights-of-evidence control model was accurate enough for estimating the spatial modeling of groundwater springs occurrences in Central Alborz.

**Keywords:** Spatial modeling, Groundwater springs, Weights-of-evidence, ROC, Geomorphometry, Central Alborz.

Correspondence Address: Dep. of Arid & Mountainous Region Reclamation, Faculty of Natural Resources, University of Tehran, Karaj.

Email: aknazari@ut.ac.ir